

The background of the slide features a large, faint, circular seal of Zhejiang University. The seal contains the university's name in Chinese characters '浙江大学' at the top and 'ZHEJIANG UNIVERSITY' in English at the bottom. In the center of the seal is a depiction of a traditional Chinese building with a multi-tiered roof.

# 数字信号处理

邓振淼

中山大学电子与通信工程学院

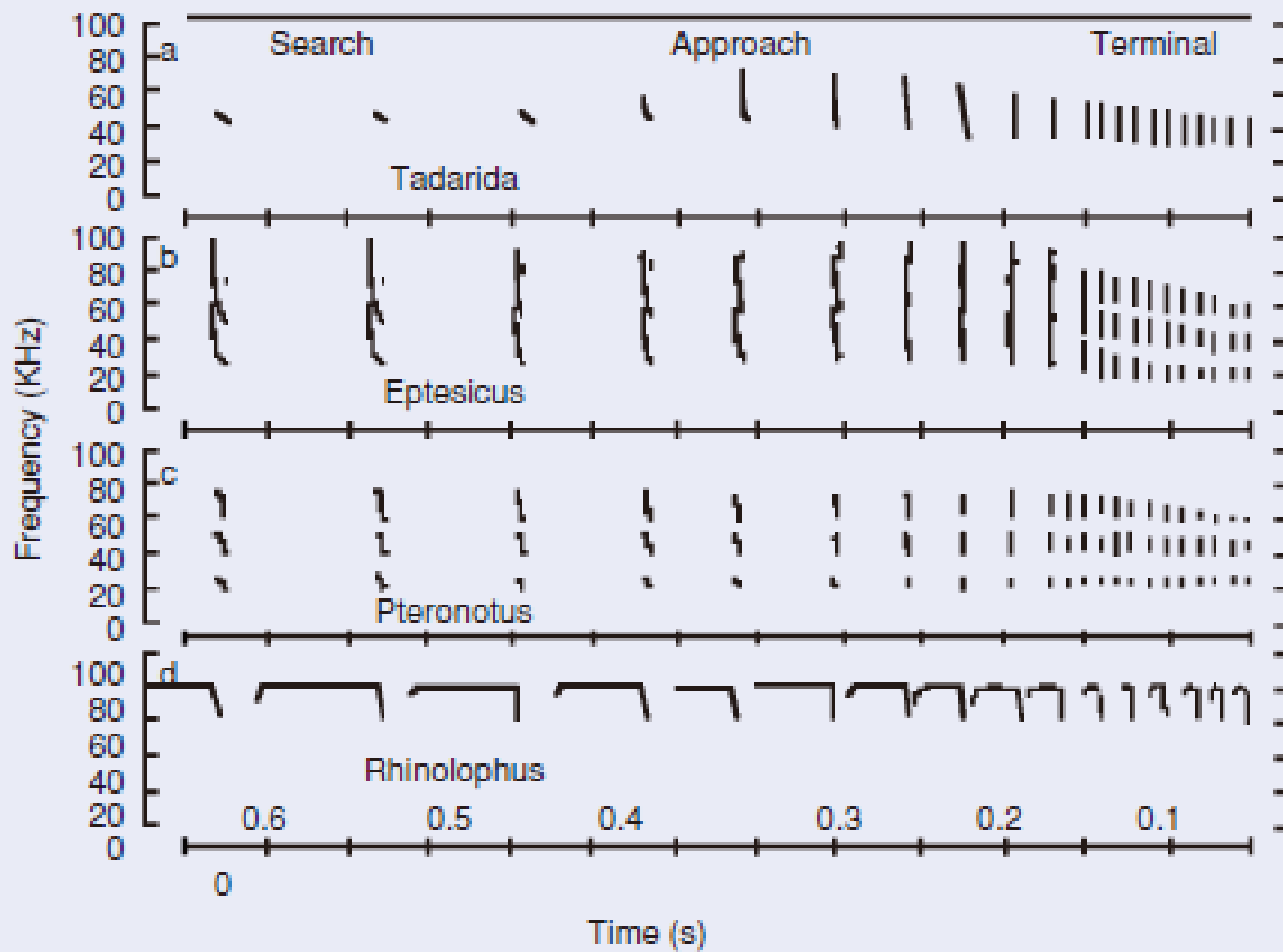
**2019-8-28**



# 离散傅里叶变换(DFT)

- 离散傅里叶变换的定义及物理意义
- 离散傅里叶变换的基本性质
- 频率域采样
- DFT应用举例







# 离散傅里叶变换(DFT)

## ➤ 离散傅里叶变换(DFT)的重要性:

- 频域离散化, 可采用数字信号处理在频域进行数值运算。
- DFT有快速算法, 提高了实时性, 设备得以简化。

## ➤ DFT的定义: 设 $x(n)$ 是一个长度为 $M$ 的有限长序列, 则定义 $x(n)$ 的 $N$ 点离散傅里叶变换为

$$X(k) = \text{DFT}[x(n)] = \sum_{n=0}^{N-1} x(n)W_N^{kn}, k = 0, 1, \dots, N-1$$

## ➤ $X(k)$ 的离散逆傅里叶变换(IDFT)为

$$x(n) = \text{IDFT}[X(k)] = \frac{1}{N} \sum_{k=0}^{N-1} X(k)W_N^{-kn}, n = 0, 1, \dots, N-1$$

## ➤ 其中 $W_N^{kn} = e^{-j\frac{2\pi}{N}kn}$ , $N$ 为DFT变换区间的长度, $N \geq M$ 。

## ➤ 常用 $\text{DFT}[x(n)]_N$ 和 $\text{IDFT}[X(k)]_N$ 表示 $N$ 点DFT和 $N$ 点IDFT。



# IDFT的唯一性

$$\begin{aligned}\text{IDFT}[X(k)]_N &= \frac{1}{N} \sum_{n=0}^{N-1} \left[ \sum_{m=0}^{N-1} x(m) W_N^{km} \right] W_N^{-kn} \\ &= \sum_{m=0}^{N-1} x(m) \frac{1}{N} \sum_{n=0}^{N-1} W_N^{-k(m-n)}\end{aligned}$$

➤ 因为

$$\frac{1}{N} \sum_{n=0}^{N-1} W_N^{-k(m-n)} = \begin{cases} 1, m = n + iN, i \text{为整数} \\ 0, m \neq n + iN, i \text{为整数} \end{cases}$$

➤ 所以在变换区间内

$$\text{IDFT}[X(k)]_N = x(n), n = 0, 1, \dots, N-1$$

➤ 因此IDFT是唯一的。



# 举例

➤ 例3.1.1  $x(n) = R_4(N)$ , 求 $x(n)$ 的4点和8点DFT。

➤ 解:  $N = 4$ 时,

$$\begin{aligned} X(k) &= \sum_{n=0}^3 x(n) W_4^{kn} = \sum_{n=0}^3 e^{-j\frac{2\pi}{4}kn} \\ &= \frac{1-e^{-j2\pi k}}{1-e^{-j\frac{\pi}{2}k}} = \begin{cases} 4, & k=0 \\ 0, & k=1,2,3 \end{cases} \end{aligned}$$

对 $M$ 点信号 $x(n)$ 做 $N$ 点DFT相当于对 $x(n)$ 首先把补 $N-M$ 个零, 然后做 $N$ 点DFT。补零会产生什么效果? 请同学们思考

➤  $N = 8$ 时,



$$\begin{aligned} X(k) &= \sum_{n=0}^7 x(n) W_8^{kn} = \sum_{n=0}^3 e^{-j\frac{2\pi}{8}kn} \\ &= e^{-j\frac{3}{8}\pi k} \frac{\sin(\frac{\pi}{2}k)}{\sin(\frac{\pi}{8}k)}, \quad k=0,1,\dots,7 \end{aligned}$$



# DFT与FT和ZT之间的关系

➤ 设 $x(n)$ 是一个长度为 $M$ 的有限长序列，其ZT和 $N$ 点DFT分别为

$$X(z) = \mathbf{ZT}[x(n)] = \sum_{n=0}^{M-1} x(n)z^{-n}$$

$$X(k) = \mathbf{DFT}[x(n)] = \sum_{n=0}^{N-1} x(n)W_N^{kn}, k = 0, 1, \dots, N-1$$

➤ 比较两式，可得

$$X(k) = X(z) \Big|_{z=e^{j\frac{2\pi}{N}k}}, k = 0, 1, \dots, N-1$$

说明： $x(n)$ 的 $N$ 点DFT是ZT在单位圆上的 $N$ 点等间隔采样。

$$X(k) = X(e^{j\omega}) \Big|_{\omega=\frac{2\pi}{N}k}, k = 0, 1, \dots, N-1$$

说明： $X(k)$ 是 $X(e^{j\omega})$ 在区间 $[0, 2\pi]$ 上的 $N$ 点等间隔采样。

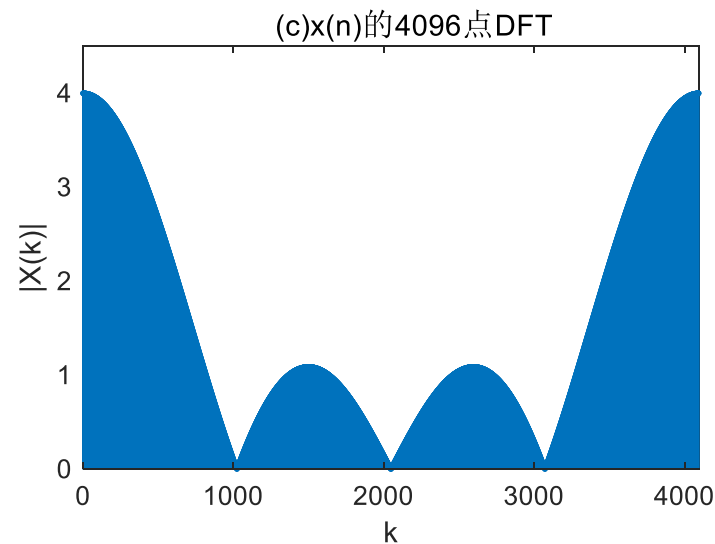
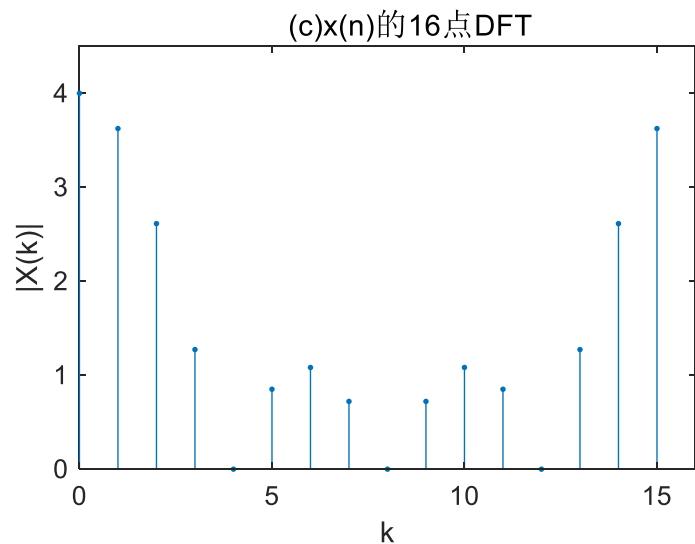
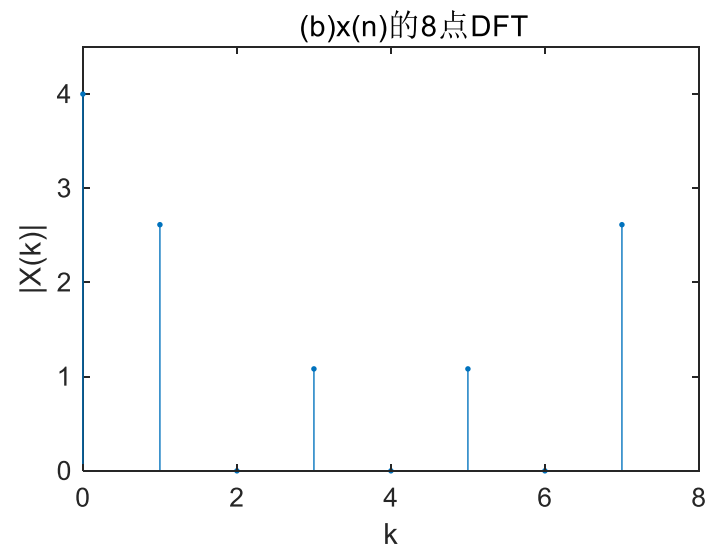
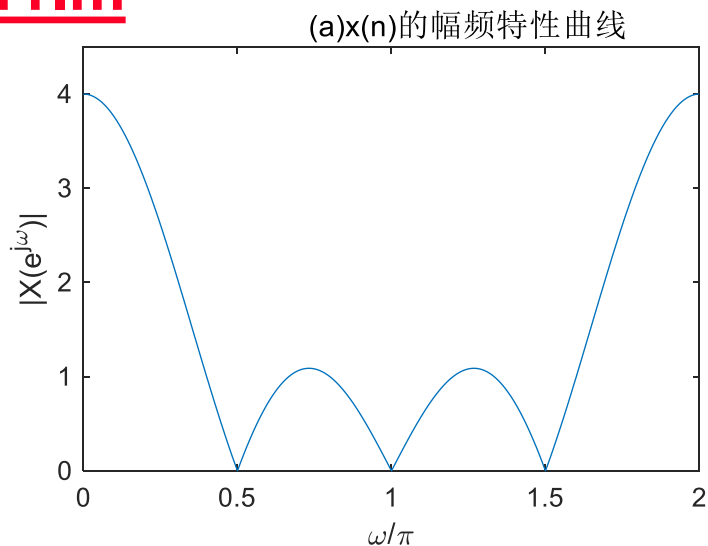
➤ 这就是DFT的**物理意义**！





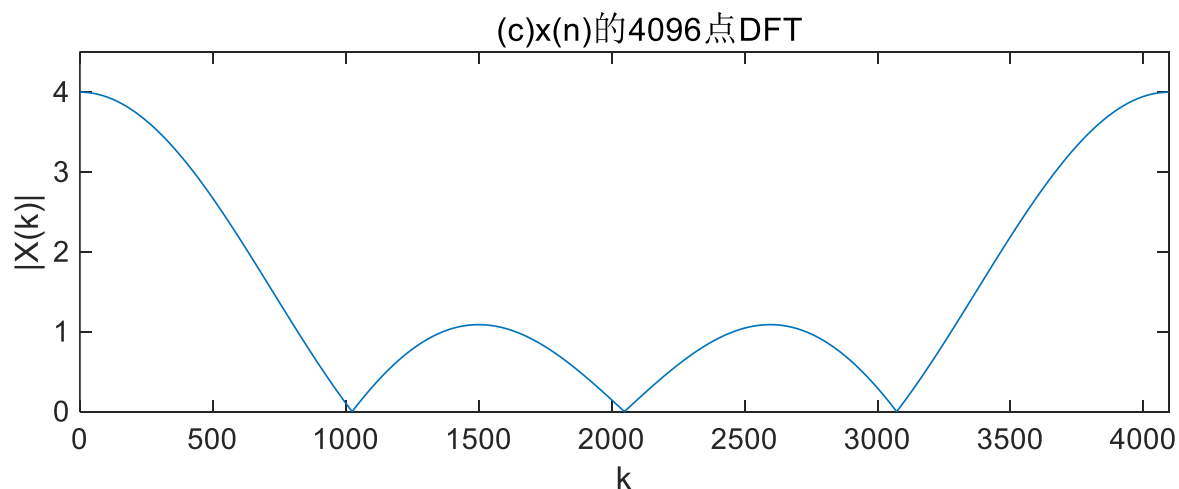
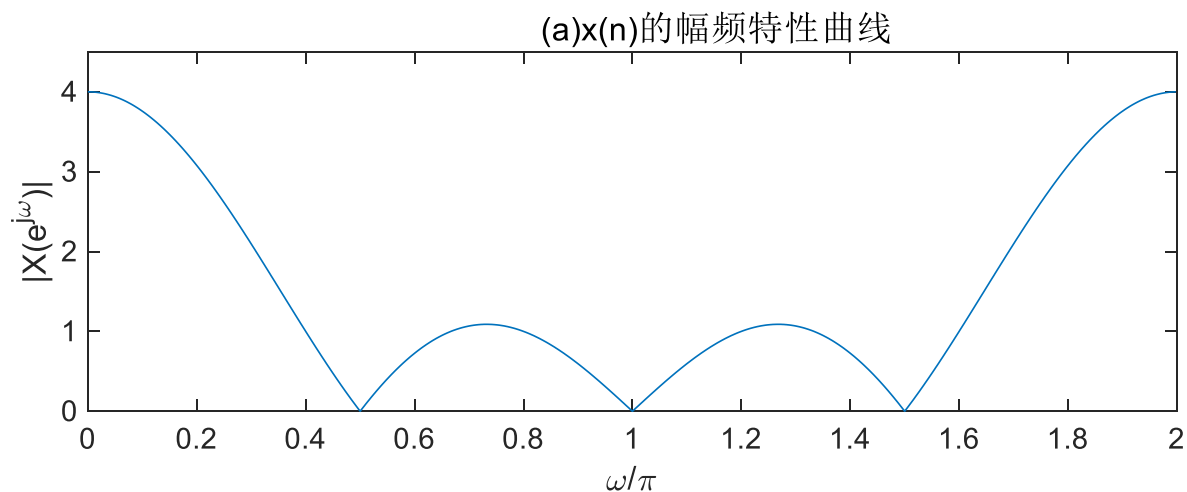
# DFT与FT和ZT之间的关系

**fig311.m**





➤ 把fig311.m里的stem改成plot，发现补很多零后DFT的幅度跟幅频特性曲线完全吻合。





# DFT隐含的周期性

- 由于 $W_N^{kn}$ 的周期性，导致 $X(k)$ 和 $x(n)$ 隐含周期性，且周期均为 $N$ 。即 $W_N^k = W_N^{k+mN}$ ,  $k$ 和 $m$ 为整数， $N$ 为自然数。亦即，我们做DFT时，无意识地实际上把信号当成是周期序列了！

- 因此

$$X(k + mN) = \sum_{n=0}^{N-1} x(n) W_N^{(k+mN)n} = \sum_{n=0}^{N-1} x(n) W_N^{kn} = X(k)$$

- 任何周期为 $N$ 的周期序列 $\tilde{x}(n)$ 都可以看做长度为 $N$ 的有限长序列的周期延拓。即

$$\begin{aligned}\tilde{x}(n) &= \sum_{m=-\infty}^{\infty} x(n + mN) \\ x(n) &= \tilde{x}(n) R_N(n)\end{aligned}$$

- 周期序列 $\tilde{x}(n)$ 从 $n = 0$ 到 $n = N - 1$ 的第一个周期称为 $\tilde{x}(n)$ 的主值区间，而 $x(n)$ 称为 $\tilde{x}(n)$ 的主值序列。



# DFT隐含的周期性

- 当 $N$ 大于等于序列 $x(n)$ 的长度时，用 $x((n))_N$ 表示 $x(n)$ 以 $N$ 为周期的周期延拓序列

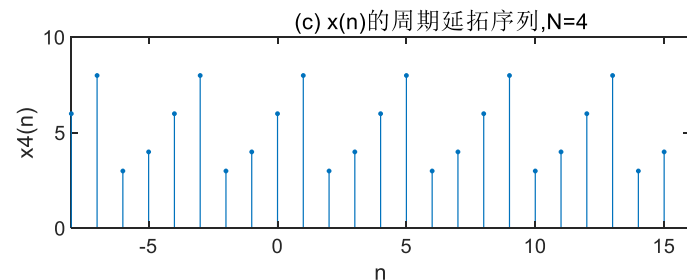
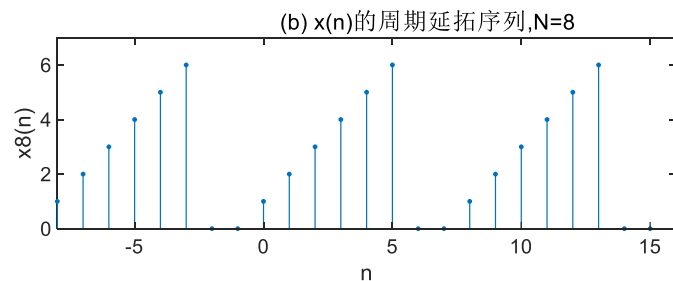
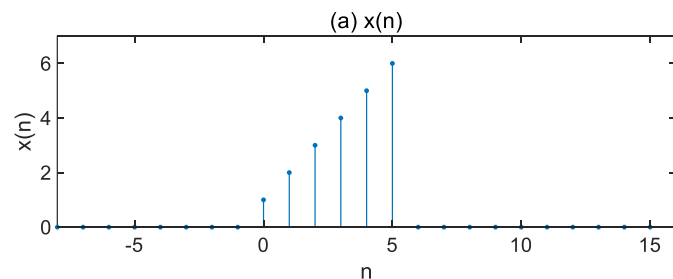
$$\tilde{x}(n) = x((n))_N$$

- $((n))_N$ 表示模 $N$ 对 $n$ 求余。
- 例如， $N = 8$ ， $\tilde{x}(n) = x((n))_8$
- 则

$$\tilde{x}(8) = x((8))_8 = x(0)$$

$$\tilde{x}(9) = x((9))_8 = x(1)$$

- 延拓时要求 $N \geq M$ 。否则有一些样本会交叠。





# DFT与DFS的关系

- 设 $x(n)$ 长度为 $M$ , 且 $\tilde{x}(n) = x((n))_N$ ,  $N \geq M$ , 则 $\tilde{x}(n)$ 的DFS为

$$\tilde{X}(k) = \sum_{n=0}^{N-1} \tilde{x}(n) W_N^{kn} = \sum_{n=0}^{N-1} x((n))_N W_N^{kn} = \boxed{\sum_{n=0}^{N-1} x(n) W_N^{kn}}$$

$$\tilde{x}(n) = \frac{1}{N} \sum_{k=0}^{N-1} \tilde{X}(k) W_N^{-kn} = \frac{1}{N} \sum_{k=0}^{N-1} X(k) W_N^{-kn}$$

- 其中:  $X(k) = \tilde{X}(k) R_N(k)$

- 回顾 $x(n)$ 的 $N$ 点DFT:

$$X(k) = \text{DFT}[x(n)] = \boxed{\sum_{n=0}^{N-1} x(n) W_N^{kn}}, k = 0, 1, \dots, N-1$$

- 结论: 周期延拓序列的频谱完全由其DFS的序数 $\tilde{X}(k)$ 决定, 而 $X(k)$ 是 $\tilde{X}(k)$ 的主值序列, 因此 $X(k)$ 就表征了 $x((n))_N$ 的频谱特性! 这是 $N$ 点DFT的第二种物理意义。



# 用MATLAB计算序列的DFT

`Y = fft(X)`

`Y = fft(X,n)`

`Y = fft(X,n,dim)`

X为输入的数字信号，n为DFT的点数，dim为维数。如果n是2的次幂，就做基2FFT，否则进行因式分解。

```
xn=[1 1 1 1]; %输入时域序列向量xn=R8(n)
Xk16=fft(xn,16); %计算xn的16点DFT
Xk32=fft(xn,32); %计算xn的32点DFT
k=0:15;wk=2*k/16; %产生16点DFT对应的采样点频率(关于 $\pi$ 归一化值)
subplot(2,2,1);stem(wk,abs(Xk16),'.'); %绘制16点DFT的幅频特性图
title(' (a) 16点DFT的幅频特性图');xlabel('  $\omega/\pi$  ');ylabel(' 幅度')
subplot(2,2,3);stem(wk,angle(Xk16),'.'); %绘制16点DFT的相频特性图
line([0,2],[0,0]);title(' (b) 16点DFT的相频特性图')
xlabel('  $\omega/\pi$  ');ylabel(' 相位');axis([0,2,-3.5,3.5])
k=0:31;wk=2*k/32; %产生32点DFT对应的采样点频率(关于 $\pi$ 归一化值)
subplot(2,2,2);stem(wk,abs(Xk32),'.'); %绘制32点DFT的幅频特性图
title(' (c) 32点DFT的幅频特性图');xlabel('  $\omega/\pi$  ');ylabel(' 幅度')
subplot(2,2,4);stem(wk,angle(Xk32),'.'); %绘制32点DFT的相频特性图
line([0,2],[0,0]);title(' (d) 32点DFT的相频特性图');
xlabel('  $\omega/\pi$  ');ylabel(' 相位');axis([0,2,-3.5,3.5])
```



# 傅里叶变换前后的信号分析

➤ 某被噪声污染的信号  $r(n) = Ae^{j\theta_c}e^{j2\pi f_c n} + w(n)$ ，请问DFT前后的信噪比有何变化？

➤ 解：  $s(n)$  的DFT为

$$\begin{aligned} R(k) &= \text{DFT}[r(n)] = \sum_{n=0}^{N-1} r(n)W_N^{kn} \\ &= \sum_{n=0}^{N-1} Ae^{j\theta_c}e^{j2\pi f_c n}W_N^{kn} + \sum_{n=0}^{N-1} w(n)W_N^{kn} = S(k) + W(k) \end{aligned}$$

注意到  $W_N^{kn} = e^{-j\frac{2\pi}{N}Kn}$ ，所以当  $\frac{K}{N} = f_c$  时，

$$S(k) = A \sum_{n=0}^{N-1} e^{j\theta_c}e^{j0}$$

则  $|S(k)| = NA$ 。根据概率论的知识，  $w(n)$  的方差为  $\sigma^2$ ，而  $W(k)$  的方差为  $N\sigma^2$ 。

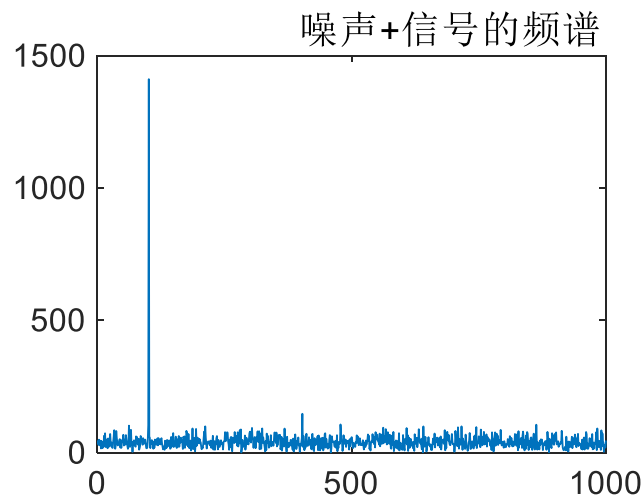
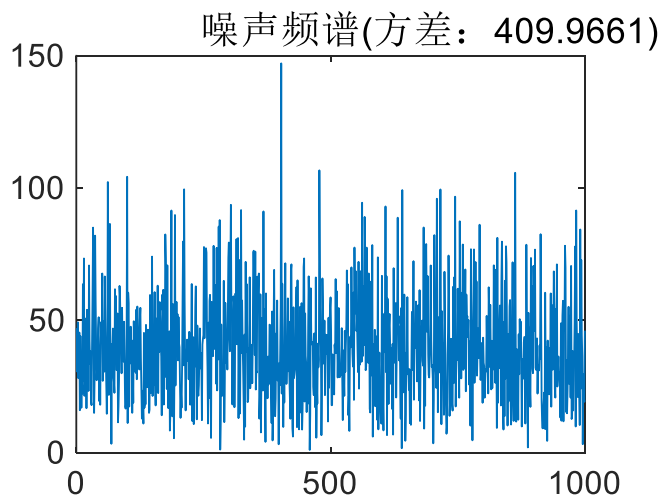
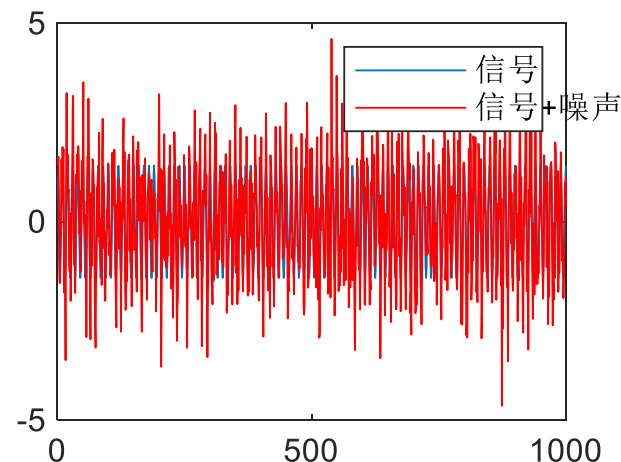
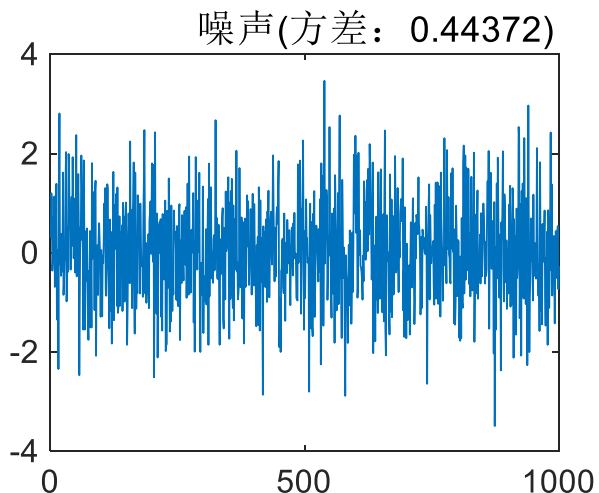
信噪比的定义为  $\frac{A^2}{\sigma^2}$ ，所以FT前后的信噪比分别为  $\frac{A^2}{\sigma^2}$  和  $\frac{N^2 A^2}{N\sigma^2}$  (即，  $N \frac{A^2}{\sigma^2}$ )

注意到，经过傅里叶变换，单频正弦波信号的信噪比提高了  $N$  倍！

事实上，其它有规律的信号有同样的结论。



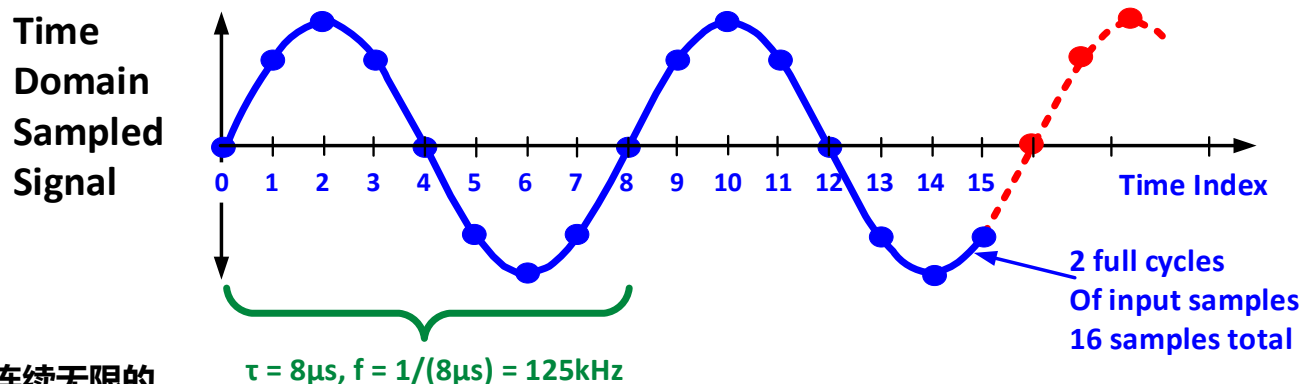
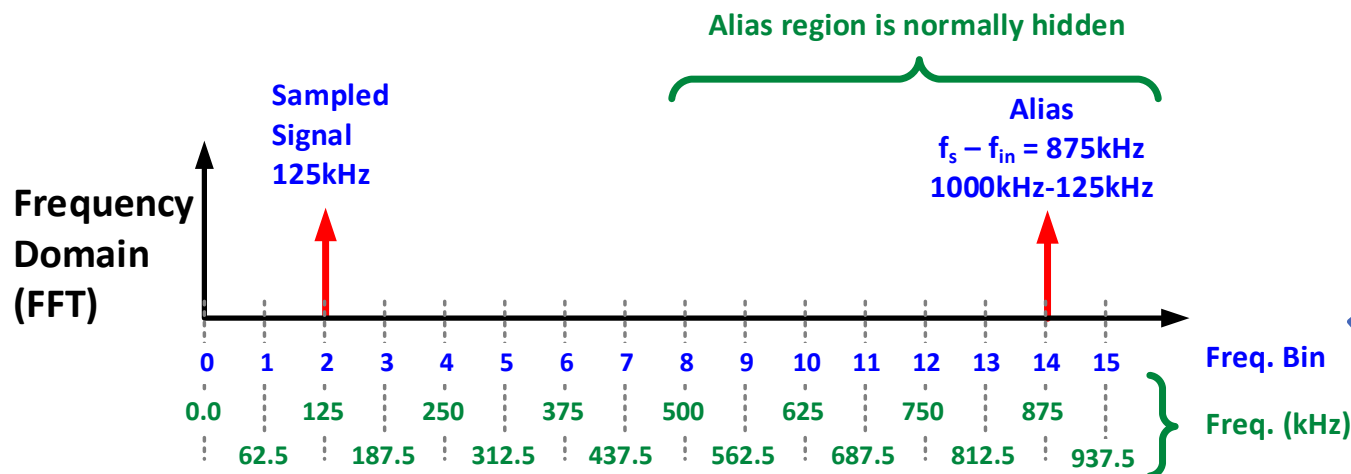
# 傅里叶变换前后的信号分析







# FFT和频率分辨率

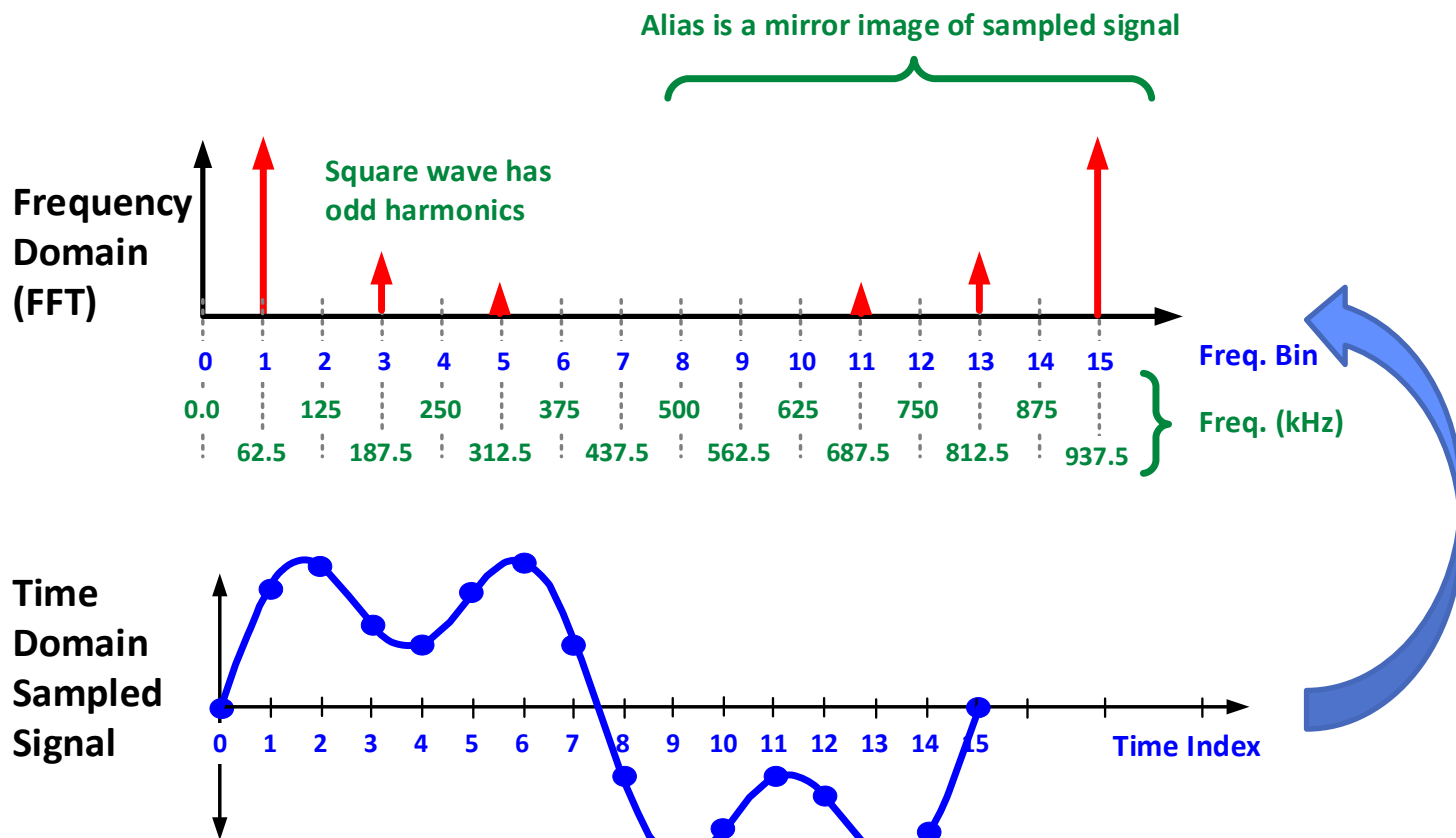


1. FFT假定时域信号是连续无限的
2. 时域上的点数等于FFT的点数
3. 混叠(alias)区域(负频率区域, 只有实数才存在)通常不考虑。镜像(负频率)关于 $f_s / 2$ 对称
4. 频率分辨率  $= \Delta f = f_s / N$

$$\Delta f = f_s / N = 1\text{MHz} / 16 = 62\text{kHz}$$



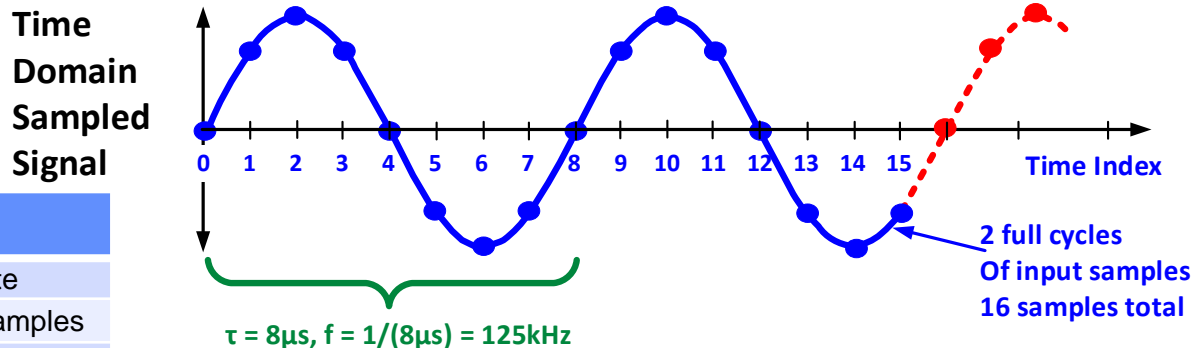
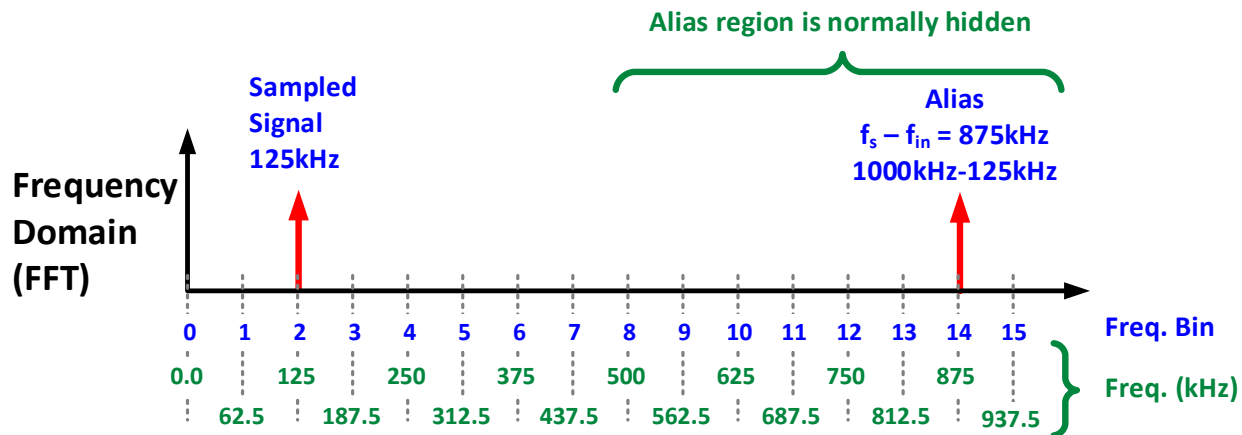
# Alias是采样信号的镜像



- 方波的例子
- 方波包括奇数次谐波，例如3, 5, 7 ...
- 注意本例里关于500kHz对称



# FFT计算举例



## Example FFT

$$f_s = 1\text{Mpsps}$$

Sampling Rate

$$N_{\text{samp}} = 16$$

Number of Samples

$$\Delta f = \frac{f_s}{N_{\text{samp}}} = \frac{1\text{Mpsps}}{16} = 62.5\text{ksps}$$

Frequency Resolution

$$\Delta t = \frac{1}{f_s} = \frac{1}{1\text{Mpsps}} = 1\mu\text{s}$$

Sampling time

$$f_{in} = 125\text{kHz}$$

Input signal

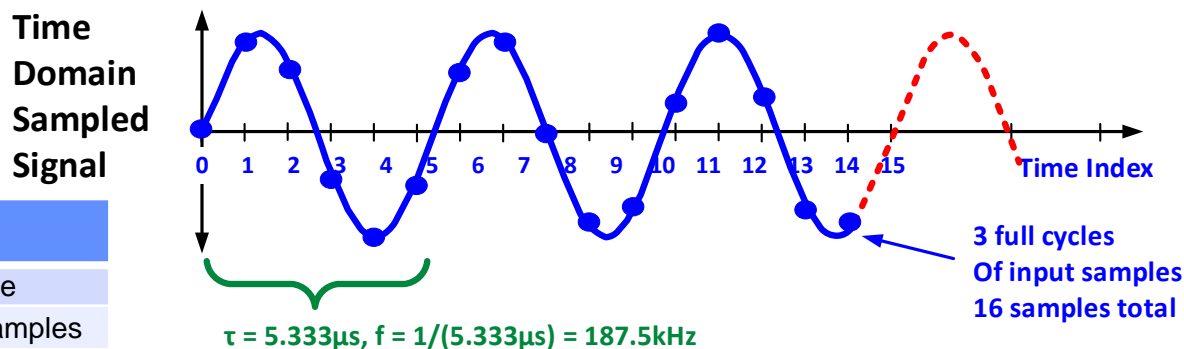
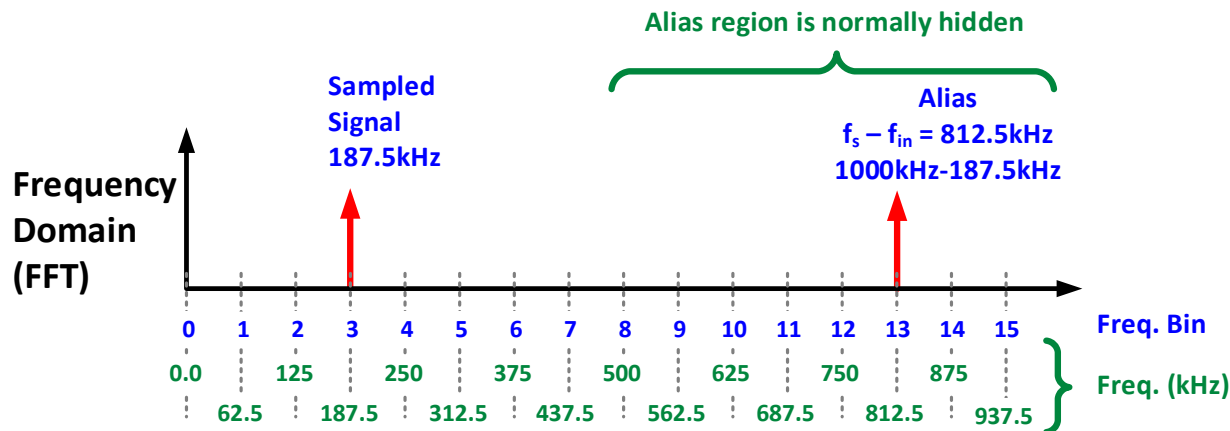
$$k_f = \frac{f_{in}}{\Delta f} = \frac{125\text{kHz}}{62.5\text{ksps}} = 2.0$$

Frequency Bin

Note:  $f_{in}$  is an exact integer multiple of  $\Delta f$



# FFT计算举例-不同的输入频率



## Example FFT

$$f_s = 1\text{Mpsps}$$

Sampling Rate

$$N_{\text{samp}} = 16$$

Number of Samples

$$\Delta f = \frac{f_s}{N_{\text{samp}}} = \frac{1\text{Mpsps}}{16} = 62.5\text{ksps}$$

Frequency Resolution

$$\Delta t = \frac{1}{f_s} = \frac{1}{1\text{Mpsps}} = 1\mu\text{s}$$

Sampling time

$$f_{in} = 187.5\text{kHz}$$

Input signal

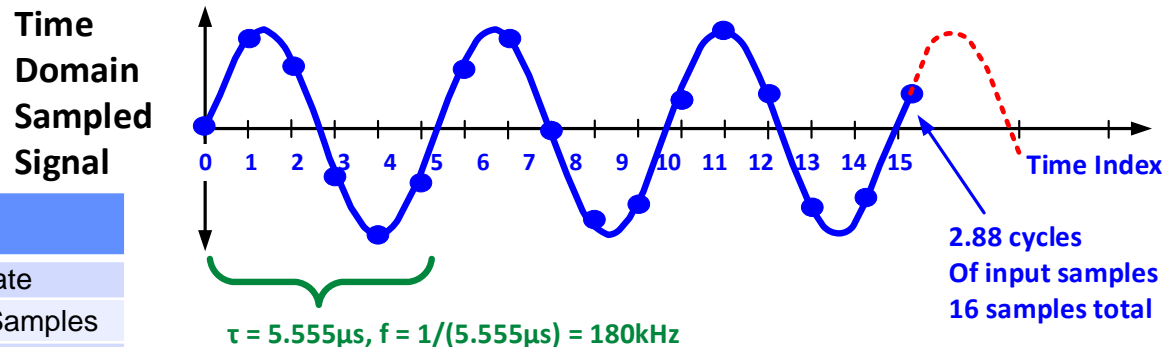
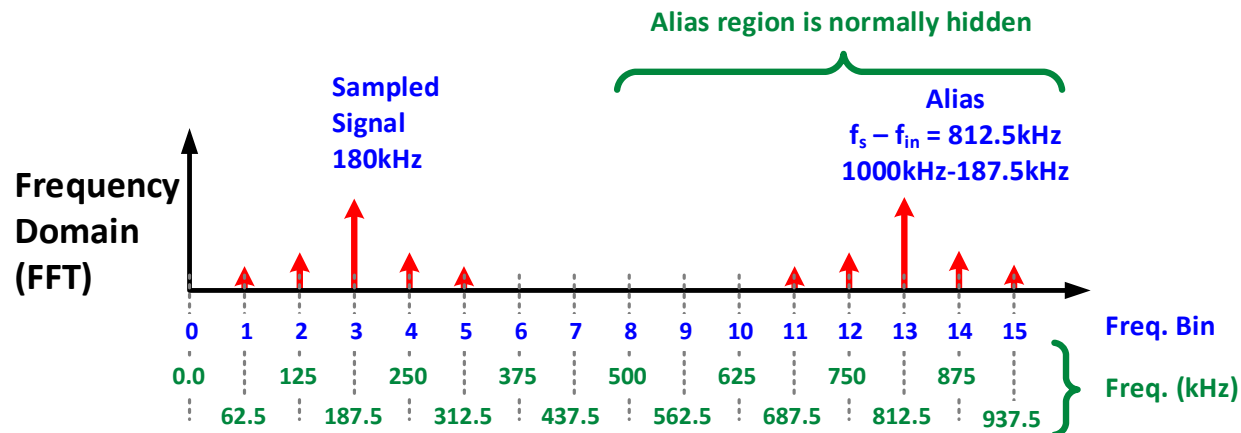
$$k_f = \frac{f_{in}}{\Delta f} = \frac{187.5\text{kHz}}{62.5\text{ksps}} = 3.0$$

Frequency Bin

Note:  $f_{in}$  is an exact integer multiple of  $\Delta f$



# FFT – Spectral Leakage



## Example FFT

$$f_s = 1\text{Mpsps}$$

Sampling Rate

$$N_{\text{samp}} = 16$$

Number of Samples

$$\Delta f = \frac{f_s}{N_{\text{samp}}} = \frac{1\text{Mpsps}}{16} = 62.5\text{ksps}$$

Frequency Resolution

$$\Delta t = \frac{1}{f_s} = \frac{1}{1\text{Mpsps}} = 1\mu\text{s}$$

Sampling time

$$f_{in} = 180\text{kHz}$$

Input signal

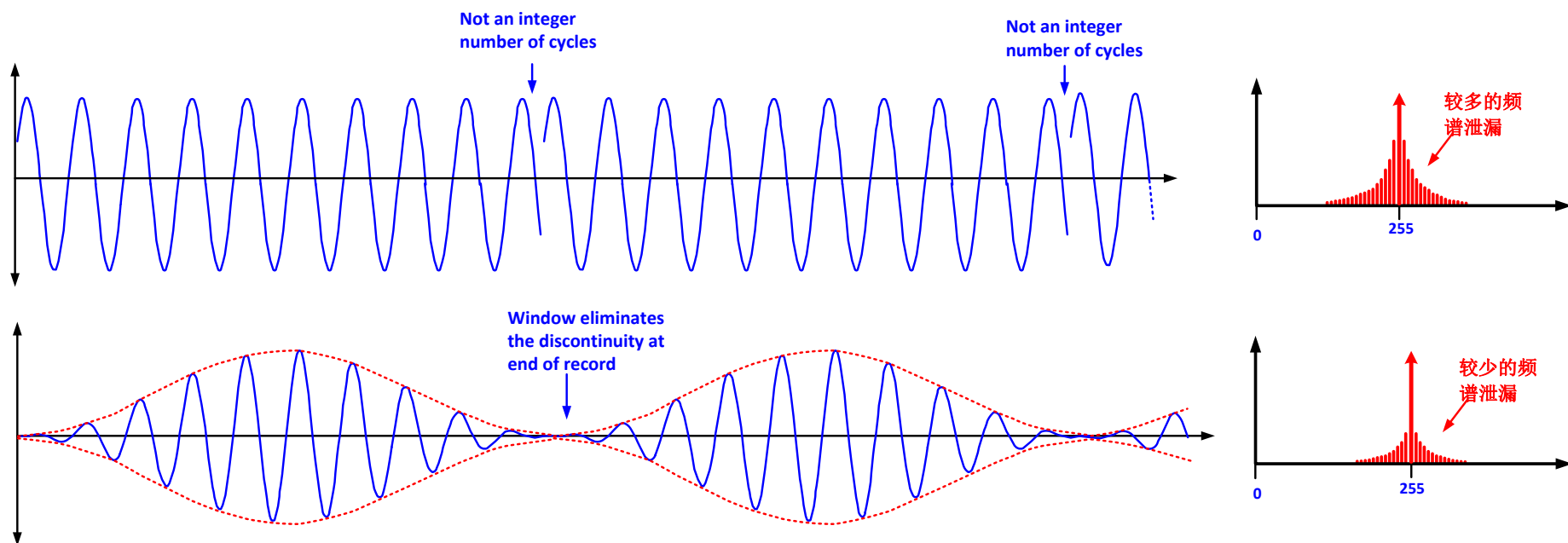
$$k_f = \frac{f_{in}}{\Delta f} = \frac{180\text{kHz}}{62.5\text{ksps}} = 2.88$$

Frequency Bin

Note:  $f_{in}$  is an exact integer multiple of  $\Delta f$



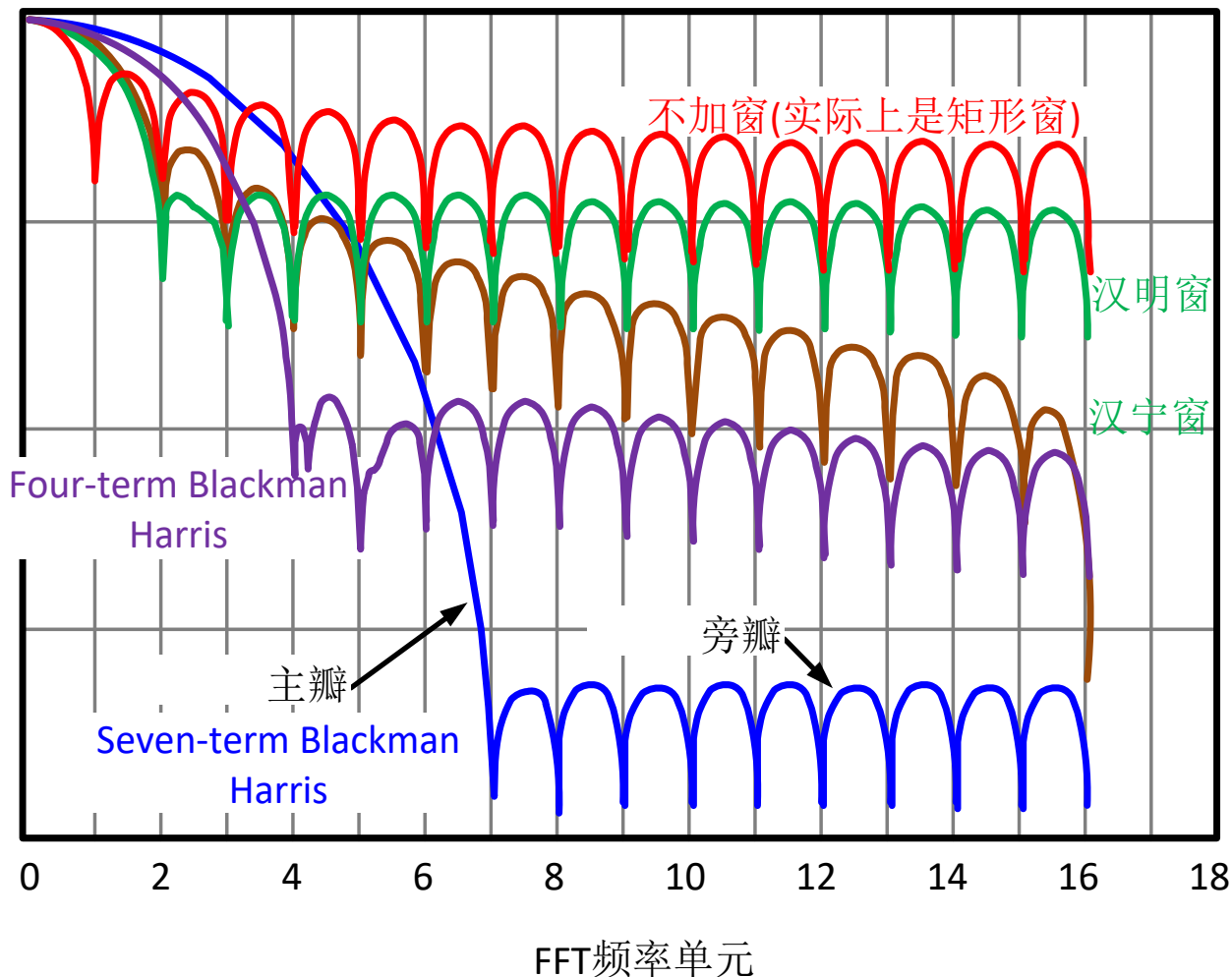
# 加窗：消除采样波形的不连续





# 各种窗函数频率响应的比较

常用窗函数的频率响应



- ◆ 理想情况下，我们希望的是非常窄的主瓣和非常低的旁瓣(副瓣)
- ◆ 根据ADC的特性，7 term Blackman Harris是较常用的。
- ◆ 通信和雷达等应用根据不同，采用相应的窗函数。
- ◆ 雷达常用汉明窗
- ◆ 通信用升余弦
- ◆ 电子对抗常用具有阻带等波纹特性的Parks-McClellan窗



# 噪声污染的正弦波信号模型

高斯白噪声污染的正弦波信号表示为:

$$x(n) = Ae^{j\theta_c} e^{j2\pi f_c n \Delta t} + w(n), \quad n = 0, 1, \dots, N-1$$

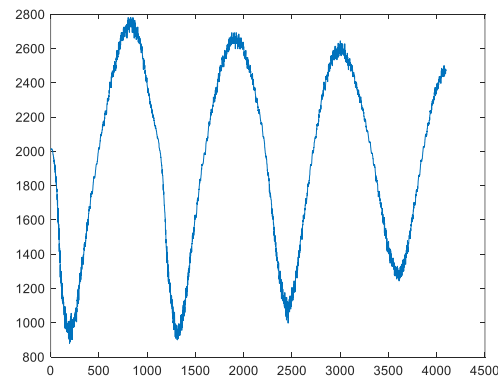
其中 $A, f_c, \theta_c$ 分别是振幅, 频率和初相,  $\Delta t$ 是采样间隔,  $N$ 是样本数,  $w(n)$ 是实部和虚部相互独立的, 方差为 $2\sigma^2$ 的零均值复高斯白噪声.

- M Rife. Single tone parameter estimation from discrete-time observations. IEEE Transactions on Information Theory, 1974.

**648 Citations**

[IEEE \(633\)](#) | [Other Publishers \(7\)](#) | [Patents \(8\)](#)

- 虽然正弦波频率估计是一个最简单, 最经典的估计问题, 但一直是研究热点, 到现在国内外仍然有很多研究。







# 正弦波频率估计

➤ 邓振淼. 正弦波频率估计的牛顿迭代方法初始值研究, 电子学报, 2007.

	篇名	作者	刊名	年/期	被引	下载	预览	分享
1	正弦波频率估计的修正Rife算法	邓振淼; 刘渝;王 志忠	数据采集与处 理	2006/04	78	480		
2	正弦波频率估计的牛顿迭代方法初始值研究	邓振淼; 刘渝	电子学报	2007/01	54	435		

➤ 审稿记录:

- 电子学报, 基于全相位分段的双子段相位差频率估计法, 2014
- 电子学报, 一种高精度的频率估计算法研究, 2012
- 电子学报, SAR复图像域多普勒中心频率估计, 2012
- 电子学报, SVR在基于相位频率估计算法中的应, 2013
- 电子学报, 基于交叉信息融合的频率估计方法, 2013
- 兵工学报, 基于双门限判决修正Rife算法的GPS信号载波频偏估计, 2013
- 系统工程与电子技术, 电子与信息学报。。。





# 正弦波频率估计的应用

- 雷达目标速度估计  $s(t) = A \exp(j4\pi f_c \frac{v}{c} t) = A \exp \left[ j2\pi \left( 2f_c \frac{v}{c} \right) t \right]$
- 雷达测距：发射信号

信号

$$s(t) = \exp(j\pi k t^2)$$

$$r(t) = \exp[j\pi k(t - \tau)^2] + n(t)$$

测距：

$$\begin{aligned} r(t)s^*(t) &= \exp(-j\pi k t^2) \exp[j\pi k(t - \tau)^2] + n'(t) \\ &= \exp(-j2\pi k \tau t + \pi k \tau^2) + n'(t) \end{aligned}$$

- 通信里的频偏估计：

● BPSK:  $s_B(t) = A \exp\{j[2\pi f_e t + \theta_c + \phi(t)]\}$

● QPSK:  $s_Q(t) = A \exp\{j[2\pi f_e t + \theta_c + \phi(t)]\}$

$$s_B^2(t) = A^2 \exp\{j[4\pi f_e t + 2\theta_c]\}$$

$$s_Q^4(t) = A^4 \exp\{j[8\pi f_e t + 4\theta_c]\}$$

$$\begin{aligned} \phi(t) &= \sum_{i=1}^N \alpha_i \Pi(t - iT_s) \\ \alpha_i &\in \left\{ \frac{2\pi}{M} l \right\}_{l=0}^{M-1} \end{aligned}$$

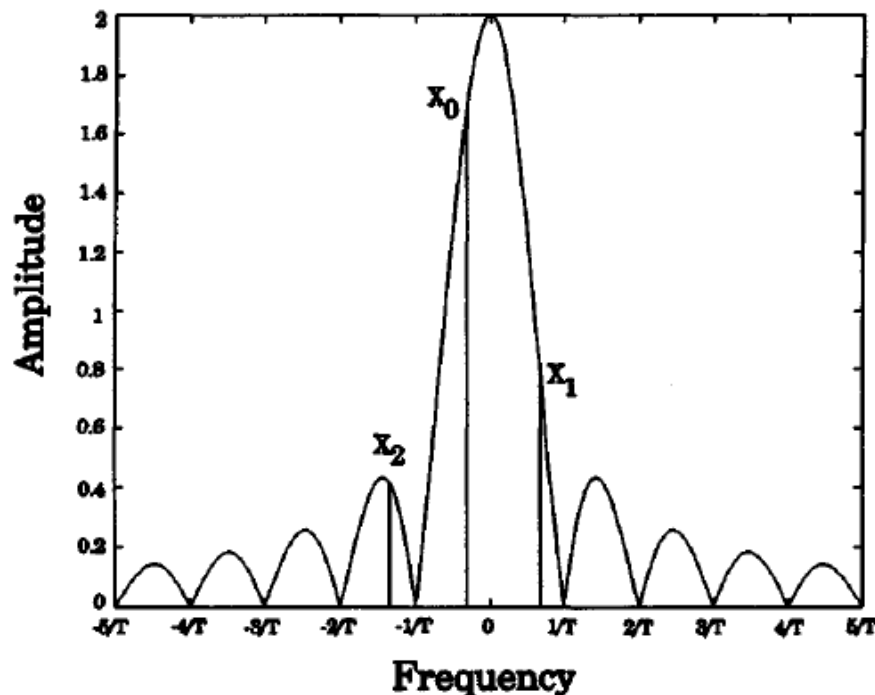
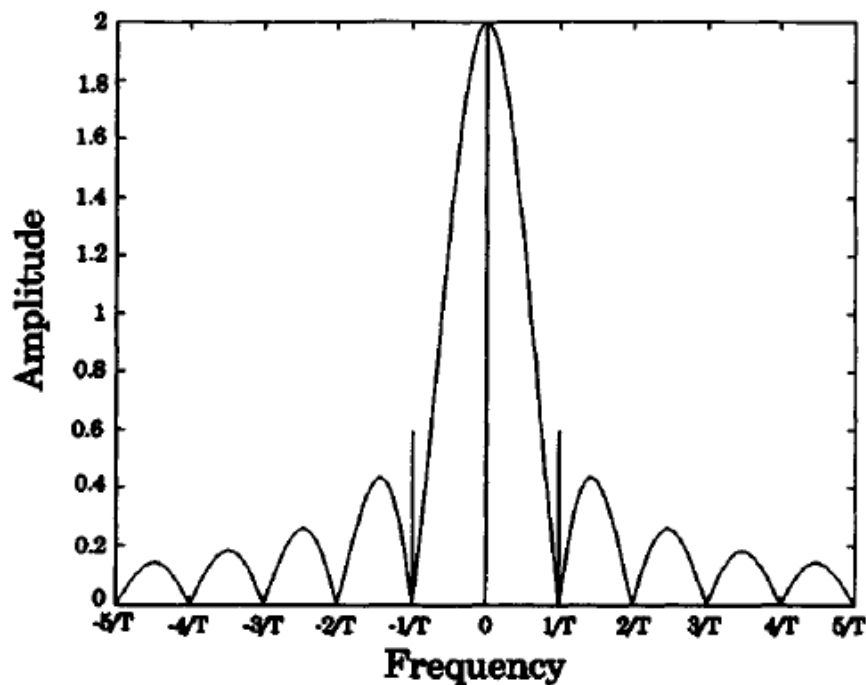


# 噪声污染的正弦波信号模型

高斯白噪声污染的正弦波信号表示为：

$$x(n) = Ae^{j\theta_c} e^{j2\pi f_c n \Delta t} + w(n), \quad n = 0, 1, \dots, N-1$$

其中 $A, f_c, \theta_c$ 分别是振幅, 频率和初相,  $\Delta t$ 是采样间隔,  $N$ 是样本数,  $w(n)$ 是实部和虚部相互独立的, 方差为 $2\sigma^2$ 的零均值复高斯白噪声.





# Rife算法的推导

- 设 $k$ 为最大谱线与真实频率 $f_c$ 之间的距离，三根最大的谱线分别为

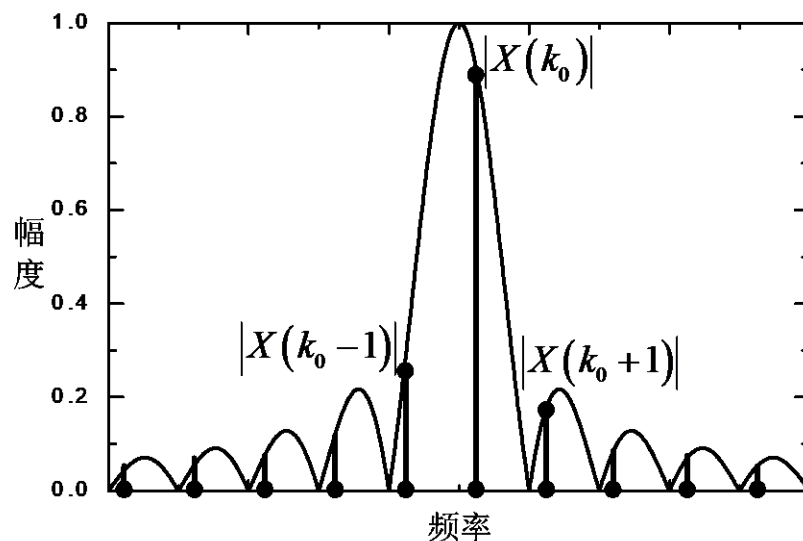
$$X_0 = \frac{\sin(\pi Tk)}{\pi k} \quad X_1 = \frac{-\sin(\pi Tk)}{\pi\left(k - \frac{1}{T}\right)} \quad X_2 = \frac{\sin(\pi k)}{\pi\left(k + \frac{1}{T}\right)}$$

- 假设 $X_1 > X_2$ ，则联立 $X_0$ 和 $X_1$ 解方程可以得到

$$\frac{X_1}{X_0} = \frac{k}{1 - k} \quad \text{or} \quad k = \frac{X_1}{X_0 + X_1}$$

- 从而 $f_c$ 等于

$$f_c = k_0 \pm k$$





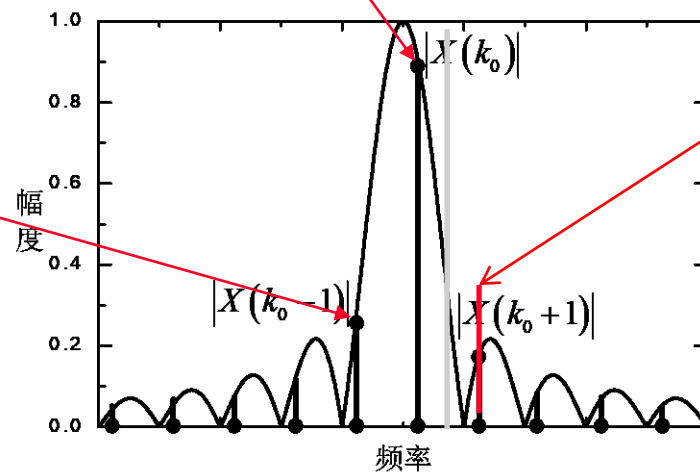
# Rife算法

一般情况下,离散频谱的幅度有一个最大值,记为 $|X(k_0)|$ .最大值相邻的两根谱线幅度值分别记为 $|X(k_0-1)|$ 和 $|X(k_0+1)|$ .D C Rife指出利用最大谱线和次大谱线进行插值得到真实频率估计值(即Rife算法):

$$\hat{f}_c = \frac{1}{T} \left( k_0 + r \frac{|X(k_0+r)|}{|X(k_0)| + |X(k_0+r)|} \right)$$

当 $|X(k_0+1)| \leq |X(k_0-1)|$ 时 $r = -1$ ,当 $|X(k_0+1)| \geq |X(k_0-1)|$ 时 $r = 1$ .

当真实频率与量化频率接近时,第二大谱线 $|X(k_0+r)|$ 的幅度较小,此时受噪声的影响插值的精度下降.



方向  
错误



# 两个正弦波的相互影响

➤  $s(n) = s_1(n) + s_2(n)$   
 $= A_1 e^{j(2\pi f_1 n + \theta_1)} + A_2 e^{j(2\pi f_2 n + \theta_2)}$

➤ 请大家思考两个正弦波信号加在一起，对幅度谱有何影响？

➤ 解：  $s(n)$  的FT为

$$S(e^{j\omega}) = A_1 e^{j\theta_1} W(e^{j(\omega - \omega_1)}) + A_2 e^{j\theta_2} W(e^{j(\omega - \omega_2)})$$

其中  $W(e^{j\omega})$  为矩形窗的FT。根据  $X(k) = X(e^{j\omega})|_{\omega = \frac{2\pi}{N}k}$  可以得到  $s(n)$  的DFT  $X(k)$ 。

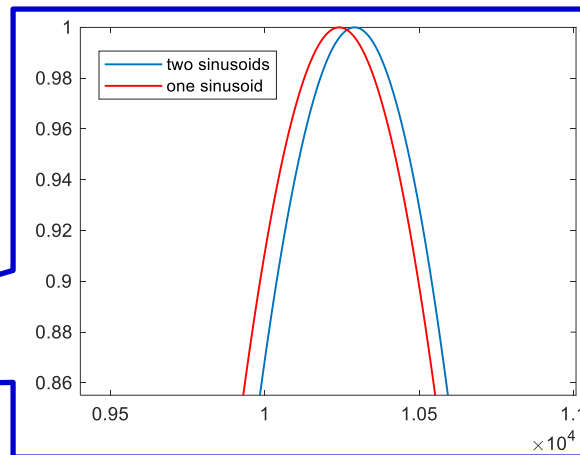
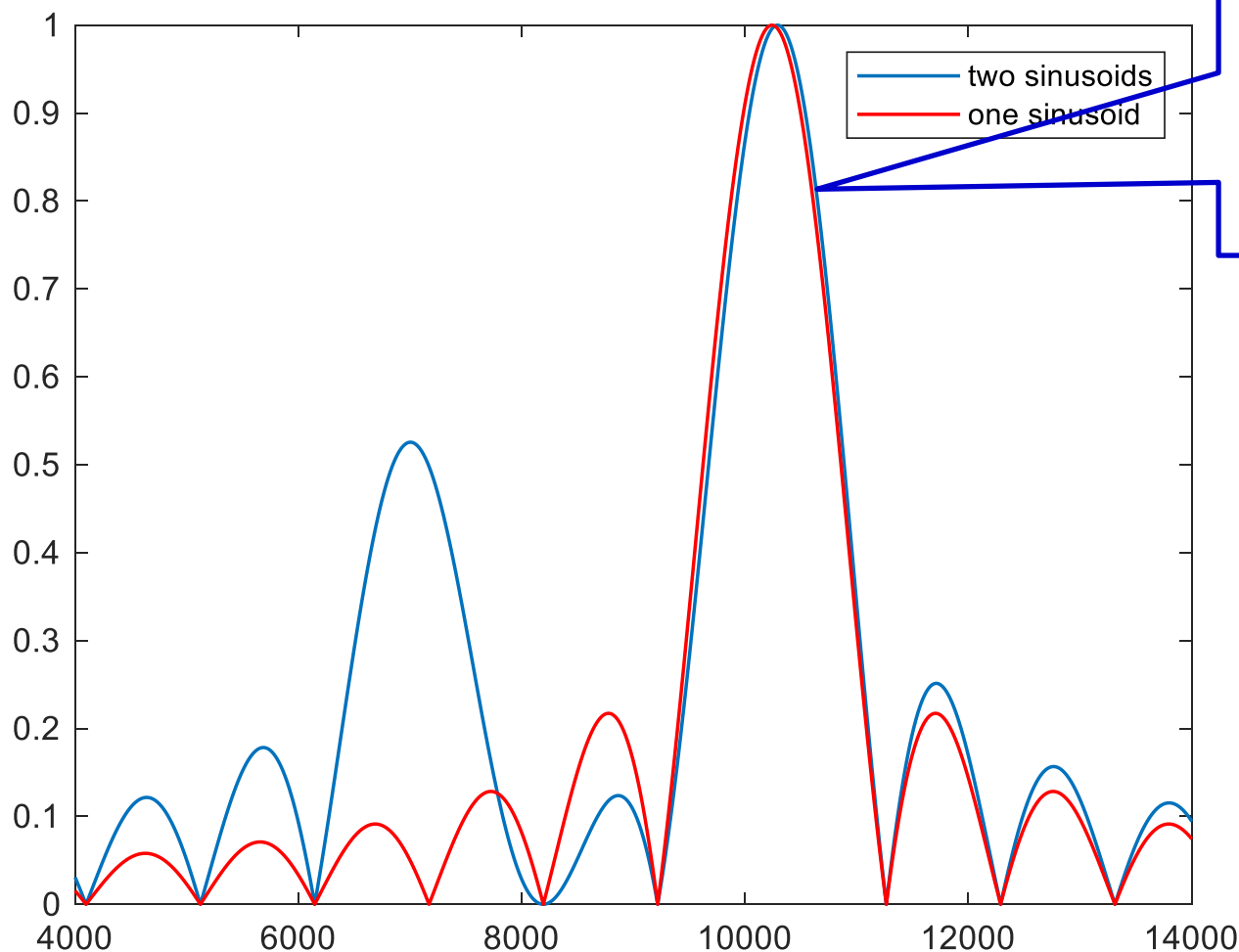
$$W(e^{j\omega}) = \sum_{n=0}^{L-1} e^{-j\omega n} = e^{-j\omega(L-1)/2} \frac{\sin(\omega L/2)}{\sin(\omega/2)}$$

➤ 看起来似乎好像两个信号的频率之间是没有什么瓜葛。实际上是否如此？



# 两个正弦波的相互影响

TwoTone.m



**两个正弦波的相互干涉，会导致峰值的形状和位置出现变化！**



# 基于FFT频率估计的进一步讨论

- 上述的分析基于的是不加窗(实际上矩形窗)，如果采用加窗，加不同的窗，估计方法是否有区别？
- 请参考《宽带数字接收机》第四章





# 作业

1. 课后习题P116-121: 1(6)(9), 2(2), 3, 8, 13, 。

2. 补充作业: 请用DFT分析复正弦波信号

$$s(n) = e^{j2\pi f n}, n = 0, 1, \dots, M-1$$

其中  $f = 0.1$ ,  $M = 32$ 。请分别用 (1)  $N = 32$ , (2)  $N = 64$ , (3)  $N = 1024$  分析的频谱  $s(n)$ 。请分析补零对频谱的影响。(4) 请尝试用被零的方法得到信号的准确频率。

拔高选做题: (5) 请加上20dB的噪声, 然后研究采用补零的方法, 需要补多少个零, 才能使得到的频率估计精度达到理论下限, 即克拉美-罗限(见下页)。

3. 补充作业: 请大家估计出老师提供的数据的信号的频率, 并估算出目标的距离。参数: 采样率476kHz。距离估算公式:  $f / (250e6 / (2.1e-6 * 4096)) * 3e8 / 2$ 。其中  $f$  是从数据中估计出来的频率。(信号是signal.mat)



# 正弦波频率估计的克拉美-罗限

- 对于非随机的被估计量 $\theta$ ，若存在无偏估计 $\hat{\theta}$ ，它的方差一定大于等于克拉美-罗限。对复正弦波信号，在相位、幅度和频率三个参数均未知的情况下，频率估计的方差下限为

$$\text{var} \left\{ \hat{f} \right\} = \frac{12\sigma^2}{(2\pi)^2 A^2 \Delta t^2 N(N^2 - 1)}$$

- 其中 $A$ 为信号的幅度， $\Delta t$ 为采样间隔， $N$ 为样本数， $\sigma^2$ 为复高斯白噪声的方差。
- 代码提供给大家。



谢谢！